

КОНТАКТНА ЗАДАЧА ДЛЯ АНІЗОТРОПНОЇ ПІВПЛОЩИНИ З ТРІЩИНАМИ

Запропоновано підхід до розв'язування контактної задачі для анізотропної півплощини, що взаємодіє з плоским гладким штампом, з урахуванням контакту берегів тріщин. Розрахунок напружень біля тріщин в анізотропній півплощині виконано на основі методу інтегральних рівнянь. Ядра рівнянь побудовано так, щоб умови на прямолінійній межі півплощини, в тому числі під штампом, задовольнялися тотожно. Досліджено вплив анізотропії і контакту берегів тріщин на коефіцієнти інтенсивності напружень.

Вступ. У пружному тілі в околі штампа виникають стискувальні напруження, які спричинюють контакт берегів тріщин, розміщених біля штампа. Тому контактні задачі для тіл з тріщинами є достатньо складними в математичному відношенні. У літературі для спрощення таких задач, які в основному розглядались для ізотропних матеріалів, найчастіше наближено приймають, що контактні напруження під штампом описуються за розподілом Герца [3, 4]. У строгій постановці контактну задачу для ізотропної пластинки та плоского гладкого штампа розглянуто в [9, 10]. Контактну задачу для ізотропної півплощини та штампа з основою криволінійної форми без урахування контакту берегів тріщин розглянуто в [10, 11]. Огляд досліджень щодо контактних задач для ізотропних матеріалів наведено в [3].

Тут цю задачу розв'язано для анізотропного матеріалу з використанням модифікованих інтегральних рівнянь, за яких умови на межі півплощини, в тому числі під штампом, задоволено тотожно. Аналогічний спосіб використано при дослідженні плоских контактних задач теорії пружності для ізотропних пластинок з отворами на основі методу рядів [5] та для анізотропних пластинок на основі методу інтегральних рівнянь [7]. Такий підхід спрощує алгоритм розв'язування контактної задачі для пластинок з тріщинами, оскільки інтегральні рівняння записано лише на кривих, на яких розміщені тріщини. Крім цього є можливість безпосереднього використання методів розрахунку контактних напружень на берегах тріщин [8].

1. Постановка задачі. Розглянемо анізотропну півплощину $y < 0$, послаблену тріщинами, які лежать на кривих L_j , $j = 1, \dots, J$. Вважаємо, що півплощина вздовж межі $y = 0$ при $a < x < b$ (область L_u) взаємодіє зі штампом, основа якого $y = f(x)$. Межа поза штампом (область L_σ) є вільною від навантаження, а дотичні напруження під штампом відсутні. Головний вектор Y_s і момент M сил, прикладених до штампа, є заданими. Береги тріщин контактують без тертя, а прикладені до протилежних берегів зусилля поза ділянками контакту є однаковими й дорівнюють (X_T, Y_T) на лівому березі відносно вибраного обходу.

2. Основні співвідношення. Виходимо з комплексних потенціалів Лехницького $\Phi(z_1)$, $\Psi(z_2)$, де $z_j = x + s_j y$, s_j , $j = 1, 2$, – корені характеристичного рівняння $\Delta(s) = 0$ з додатною уявною частиною [6], де

$$\Delta(s) = \alpha_{11}s^4 - 2\alpha_{16}s^3 + (2\alpha_{12} + \alpha_{66})s^2 - 2\alpha_{26}s + \alpha_{22},$$

α_{ij} – пружні сталі матеріалу, які входять у закон Гука [6].

Розглянемо довільний контур Γ , який належить області D , зайнятої пластинкою, та виберемо на ньому напрямком обходу. Вектори напружень (X, Y) і переміщень (u, v) на цьому контурі, який розглядаємо як межу області, розміщеної зліва відносно вибраного обходу, запишемо як [1, 6]

$$\begin{aligned}
X &= 2 \operatorname{Re} [s_1 \Phi(z_1) z_1' + s_2 \Psi(z_2) z_2'], \\
Y &= -2 \operatorname{Re} [\Phi(z_1) z_1' + \Psi(z_2) z_2'], \\
u' &= 2 \operatorname{Re} [p_1 \Phi(z_1) z_1' + p_2 \Psi(z_2) z_2'], \\
v' &= 2 \operatorname{Re} [q_1 \Phi(z_1) z_1' + q_2 \Psi(z_2) z_2'], \tag{1}
\end{aligned}$$

де

$$u' = \frac{du}{ds}, \quad v' = \frac{dv}{ds}, \quad p_j = \alpha_{11} s_j^2 - \alpha_{16} s_j + \alpha_{12}, \quad q_j = \alpha_{12} s_j - \alpha_{26} + \alpha_{22} \frac{1}{s_j},$$

$z_j' = \frac{dx}{ds} + s_j \frac{dy}{ds}$, ds – диференціал дуги на Γ .

Введемо в розгляд вектор напружень $q_\Gamma(z) = X + iY$ на кривій Γ , який з використанням співвідношень (1) визначаємо за формулою

$$\begin{aligned}
q_\Gamma &= (s_1 - i) z_1' \Phi(z_1) + (\bar{s}_1 - i) \bar{z}_1' \bar{\Phi}(z_1) + \\
&\quad + (s_2 - i) z_2' \Psi(z_2) + (\bar{s}_2 - i) \bar{z}_2' \bar{\Psi}(z_2).
\end{aligned}$$

Прийmemo, що вектори (X, Y) і (u, v) на кривій Γ є відомими. Тоді зі співвідношень (1) на Γ маємо [12]

$$\Phi(z_1) = \frac{-v' + s_1 u' + p_1 X + q_1 Y}{\Delta_1 z_1'}, \quad \Psi(z_2) = \frac{-v' + s_2 u' + p_2 X + q_2 Y}{\Delta_2 z_2'}, \tag{2}$$

де $\Delta_j = \Delta'(s_j)$, $j = 1, 2$.

3. Інтегральні рівняння задачі відносно стрибків переміщень. Для побудови загального розв'язку задачі спочатку розглянемо нескінченну область, що містить тріщини, береги яких не контактують. На основі (2) і теореми Коші для аналітичних функцій у цьому випадку маємо такі інтегральні зображення для потенціалів Лехницького [8, 12]

$$\begin{aligned}
\Phi(z_1) &= \int_L [g_1' \Phi_1^S(z_1, t_1) + g_2' \Phi_2^S(z_1, t_1)] ds + \Phi_S(z_1), \\
\Psi(z_2) &= \int_L [g_1' \Psi_1^S(z_2, t_2) + g_2' \Psi_2^S(z_2, t_2)] ds + \Psi_S(z_2),
\end{aligned}$$

де

$$\begin{aligned}
L &= L_1 + \dots + L_J, \quad g_1' = \frac{d}{ds}(u^+ - u^-), \quad g_2' = \frac{d}{ds}(v^+ - v^-), \\
\Phi_j^S(z_1, t_1) &= \frac{A_j}{t_1 - z_1}, \quad \Psi_j^S(z_2, t_2) = \frac{B_j}{t_2 - z_2}, \quad j = 1, 2, \\
A_1 &= -\frac{is_1}{2\pi\Delta_1}, \quad A_2 = \frac{i}{2\pi\Delta_1}, \quad B_1 = -\frac{is_2}{2\pi\Delta_2}, \quad B_2 = \frac{i}{2\pi\Delta_2}.
\end{aligned}$$

Тут u^\pm, v^\pm – граничні значення переміщень при підході до тріщини зліва і справа відносно вибраного напрямку інтегрування, $t_j = \xi + s_j \eta$ – точка, за якою проводиться інтегрування, $(\xi, \eta) \in L$, ds – диференціал дуги на кривій L , $\Phi_S(z_1), \Psi_S(z_2)$ – потенціали для суцільної пластинки, які відповідають прикладеним на нескінченності зусиллям і внутрішнім зосередженим силам.

4. Модифіковане інтегральне зображення. Якщо пружна анізотропна пластинка з тріщинами займає задану область D з вільною від навантаження межею або за однорідних граничних умов (наприклад, на частині межі задано нульові переміщення, а решта межі вільна від навантаження).

Побудуємо інтегральні рівняння цієї задачі таким чином, щоб умови на межі області D виконувались автоматично. Спочатку побудуємо комплексні потенціали Лехницького $\Phi_j^D, \Psi_j^D, j=1,2$, які є розв'язком задачі теорії пружності для області D з вибраними однорідними умовами на межі і мають такі особливості в точці $T(x_0, y_0) \in D$:

$$\Phi_j^D \sim -\frac{A_j}{z_1 - z_{10}}, \quad \Psi_j^D \sim -\frac{B_j}{z_2 - z_{20}},$$

де $z_{k0} = x_0 + s_k y_0, k=1,2$. Позначимо ці потенціали через $\Phi_j^D(z_1, T), \Psi_j^D(z_2, T)$. Тоді загальний розв'язок задачі теорії пружності (потенціали Лехницького) для області D з тріщинами набуде вигляду [8, 12]

$$\begin{aligned} \Phi(z_1) &= \int_L [\Phi_1^D(z_1, T)g_1'(s) + \Phi_2^D(z_1, T)g_2'(s)]ds + \Phi_D(z_1), \\ \Psi(z_2) &= \int_L [\Psi_1^D(z_2, T)g_1'(s) + \Psi_2^D(z_2, T)g_2'(s)]ds + \Psi_D(z_2), \end{aligned} \quad (3)$$

де $\Phi_D(z_1) = \Phi_D^P(z_1) + \Phi_D^\infty(z_1), \Psi_D(z_2) = \Psi_D^P(z_2) + \Psi_D^\infty(z_2), T$ – точка (ξ, η) , за якою проводиться інтегрування. Тут потенціали Φ_D^P, Ψ_D^P та $\Phi_D^\infty, \Psi_D^\infty$ – розв'язки задач теорії пружності для області D з однорідними граничними умовами за дії прикладених до пластинки на нескінченності зусиль або зосереджених сил, відповідно.

За побудовою, потенціали (3) тотожно задовольняють задані умови на межі області D при довільних функціях g_1', g_2' .

Підставивши співвідношення (3) у граничні умови, отримуємо інтегральні рівняння для знаходження $g_1'(s), g_2'(s)$ у випадку тріщин, береги яких не контактують:

$$\int_\Gamma [g_1'(s)Q_1(Z, T) + g_2'(s)Q_2(Z, T)]ds = Q(Z), \quad Z \in L. \quad (4)$$

Тут $Q(Z) = Q_T(Z) - Q_D(Z); Q_j(Z, T)$ – вектор напружень q_L у точці $Z(x, y) \in L$, який визначається за формулою (3) через комплексні потенціали $(\Phi_j^D(z_1, T), \Psi_j^D(z_2, T)), j=1,2; Q_D(Z)$ – вектор напружень, що відповідає потенціалам $(\Phi_D(z_1), \Psi_D(z_2)), Q_T = X_T + iY_T$. Наприклад,

$$\begin{aligned} Q_j(Z, T) &= (s_1 + i)z_1' \Phi_j^D(z_1, T) + (\bar{s}_1 + i)\bar{z}_1' \bar{\Phi}_j^D(z_1, T) + \\ &+ (s_2 + i)z_2' \Psi_j^D(z_2, T) + (\bar{s}_2 + i)\bar{z}_2' \bar{\Psi}_j^D(z_2, T), \quad j=1,2. \end{aligned}$$

5. Побудова допоміжних розв'язків $\Phi_j^D, \Psi_j^D, j=1,2$. Для визначення допоміжних функцій знайдемо потенціали Лехницького $\Phi(z_1), \Psi(z_2)$ для суцільної півплощини $y < 0$, які мають полюси:

$$\Phi(z_1) \sim \frac{A}{z_1 - z_{10}}, \quad \Psi(z_2) \sim \frac{B}{z_2 - z_{20}},$$

де A, B – довільні комплексні сталі, $z_{k0} = x_0 + s_k y_0, k=1,2, (x_0, y_0)$ – довільна точка, яка належить півплощині.

Приймаємо, що межа півплощини контактує в області $L_u, a < x < b, z$ гладким плоским штампом. Головний вектор і момент прикладених до

штампа сил дорівнюють нулеві, а поза штампом межа ненавантажена. Зазначимо, що в розглянутій допоміжній задачі напруження під штампом можуть бути знакозмінні, тобто ця задача не має фізичного змісту.

Розв'язок задачі зобразимо у вигляді суми

$$\Phi(z) = \Phi_1(z) + \Phi_\Delta(z), \quad \Psi(z) = \Psi_1(z) + \Psi_\Delta(z),$$

де Φ_1, Ψ_1 – потенціали для суцільної півплощини з вільною межею, що мають задані особливості, Φ_Δ, Ψ_Δ – коригувальний розв'язок.

На основі [1] маємо

$$\Phi_1(z) = \Phi_0(z) + \alpha_1 \bar{\Phi}_0(z) + \beta_1 \bar{\Psi}_0(z),$$

$$\Psi_1(z) = \Psi_0(z) + \alpha_2 \bar{\Phi}_0(z) + \beta_2 \bar{\Psi}_0(z),$$

де

$$\Phi_0(z_1) = \frac{A}{z_1 - z_{10}}, \quad \Psi_0(z_2) = \frac{B}{z_2 - z_{20}},$$

$$\alpha_1 = \frac{\bar{s}_1 - s_2}{\delta}, \quad \beta_1 = \frac{\bar{s}_2 - s_2}{\delta}, \quad \alpha_2 = \frac{s_1 - \bar{s}_1}{\delta}, \quad \beta_2 = \frac{s_1 - \bar{s}_2}{\delta}, \quad \delta = s_2 - s_1.$$

Коригувальний розв'язок для випадку, коли центр штампа розміщено в початку координат (тобто при $a = -\ell, b = \ell$), з використанням результатів роботи [7] подамо у вигляді

$$\Phi_\Delta(z) = \frac{s_2}{s_2 - s_1} [F_\Delta(z) + F_\varepsilon(z)],$$

$$\Psi_\Delta(z) = -\frac{s_1}{s_2 - s_1} [F_\Delta(z) + F_\varepsilon(z)],$$

де

$$F_\Delta(z) = \frac{1}{\lambda X(z)} [A'W(z, z_{10}) + B'W(z, z_{20}) + \bar{A}'W(z, \bar{z}_{10}) + \bar{B}'W(z, \bar{z}_{20})],$$

$$W(z, c) = \frac{1}{1-g} \left[\frac{X(z) - X(c)}{z-c} - 1 \right], \quad \lambda = \frac{s_2 q_1 - s_1 q_2}{\delta}, \quad g = \frac{\lambda}{\lambda},$$

$$A' = \alpha A, \quad B' = \beta B, \quad \alpha = -\frac{1}{\delta} \Delta_1 s_2, \quad \beta = \frac{1}{\delta} \Delta_2 s_1,$$

$$F_\varepsilon(z) = -\frac{\varepsilon}{\lambda(1-g)} \left(1 - \frac{z - c_1 \ell}{X(z)} \right), \quad X(z) = (z-a)^\rho (z-b)^{1-\rho}, \quad \rho = \frac{\ln g}{2\pi i},$$

$$\varepsilon = \frac{\text{Im}(\lambda) M_\Delta}{\pi \ell^2 (c_2 - c_1^2)}, \quad M_\Delta = \frac{2\pi}{\lambda_2} \text{Re} [A_1' H(z_{10}) + A_2' H(z_{20})],$$

$$H(c) = X(c) - c + \ell c_1, \quad c_2 = 1 - 2\rho + 2\rho^2, \quad c_1 = 1 - 2\rho.$$

Допоміжні потенціали визначаються через введені функції Φ, Ψ як

$$\Phi_j^D = \Phi|_{A=A_j, B=B_j}, \quad \Psi_j^D = \Psi|_{A=A_j, B=B_j}, \quad j = 1, 2.$$

Інтегральні рівняння (4) розв'язано методом механічних квадратур [1]. Урахування контакту берегів проведено на основі розгляду відповідної задачі квадратичного програмування [8].

6. Результати розрахунків. Розглянемо півплощину $y < 0$ з тріщиною, в яку при $y = 0, -\ell < x < \ell$ втискається без тертя плоский штамп. Приймемо, що головні вектор і момент прикладених до штампа сил дорівнюють $S_y = -P$ і $M = 0$. Розглянемо детально випадок, коли прямолінійна тріщина півдовжини a з вершинами A, B і координатами центру $(x_c, -y_c)$ нахилена під кутом α до осі Ox . При знаходженні коефіцієнтів інтенсив-

ності напружень (КІН) враховуємо контакт берегів тріщин. Потенціали $\Phi_D(z_1)$, $\Psi_D(z_2)$, які входять у (3) і є розв'язком контактної задачі для суцільної півплощини, визначаються за формулами [2, 7].

Розрахунки виконано для випадку, коли тріщина є горизонтальною та симетричною відносно центру штамп, при відносних довжинах тріщин $a/\ell = 0.1, 0.25, 0.5, 0.75, 1.0$ для ізотропного матеріалу та вуглепластику LU, для якого відношення максимального модуля пружності до мінімального дорівнює 8.9 [1]. Результати розрахунків відносної величини $F_{II}(B)/F_{II \max}$ для матеріалу LU з максимальною жорсткістю у вертикальному напрямку залежно від відносних відстаней від центру тріщин до межі y_c/ℓ зображено на рис. 1а. Тут $F_{I,II}(B) = K_{I,II}(B)\sqrt{\ell}/(P\sqrt{\pi})$, $F_{II \max}$ – найбільше значення $|F_{II}(B)|$ залежно від y_c/ℓ (значення a/ℓ фіксовані). Значення $F_{II \max}$ наведено у табл. 1.

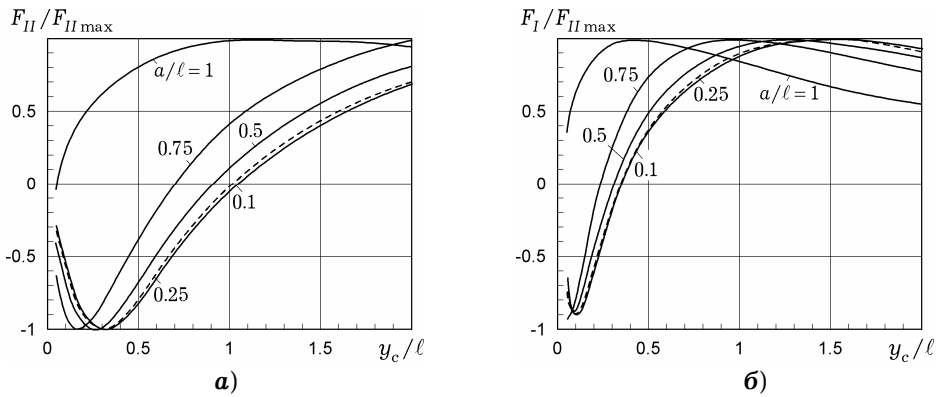


Рис. 1. Відносні КІН для горизонтальної тріщини у пластинці з матеріалу LU.

Обчислені для ізотропного матеріалу КІН при $a/\ell = 0.05, 0.25$ збігаються з результатами роботи [10], отриманими іншим методом. Аналогічні результати для матеріалу LU, коли максимальною є жорсткість у напрямку осі Ox (такий матеріал позначено через LU-90), наведено на рис. 1б.

Таблиця 1. Значення $F_{II \max}$ для горизонтальної тріщини.

a/ℓ	0.05	0.1	0.25	0.5	0.75	1
Ізотропія	0.00049	0.0014	0.0055	0.016	0.03	0.049
LU	0.00011	0.0003	0.0012	0.0037	0.0081	0.019
LU-90	0.00036	0.001	0.0041	0.012	0.026	0.055
LU-45 (A)	0.024	0.035	0.055	0.08	0.11	0.079
LU-45 (B)	0.025	0.035	0.057	0.084	0.11	0.13

Виконано розрахунки для матеріалу LU, коли вісь ортотропії з максимальною жорсткістю матеріалу нахилена під кутом 45° до Ox (такий матеріал позначено через LU-45). Результати обчислень відносних КІН F_{II} для лівої (A) і правої (B) вершин тріщини зображено відповідно на рис. 2а і рис. 2б. Для цього випадку КІН K_I для анізотропних матеріалів виявились відмінними від нуля (у тому числі за контакту берегів тріщин, що узгоджується з результатами [12]). Максимальні значення величини $\max|F_I|$ для вершини A залежно від відносної відстані тріщини до штамп $0 < y_c/\ell < 2$ при $a/\ell = 0.05, 0.1, 0.25, 0.5, 0.75, 1$ відповідно є 0.012, 0.017, 0.027, 0.04, 0.055, 0.039. Для вершини B (правої) відповідні максимальні значення $\max|F_I|$ дорівнюють 0.012, 0.018, 0.028, 0.042, 0.053, 0.063.

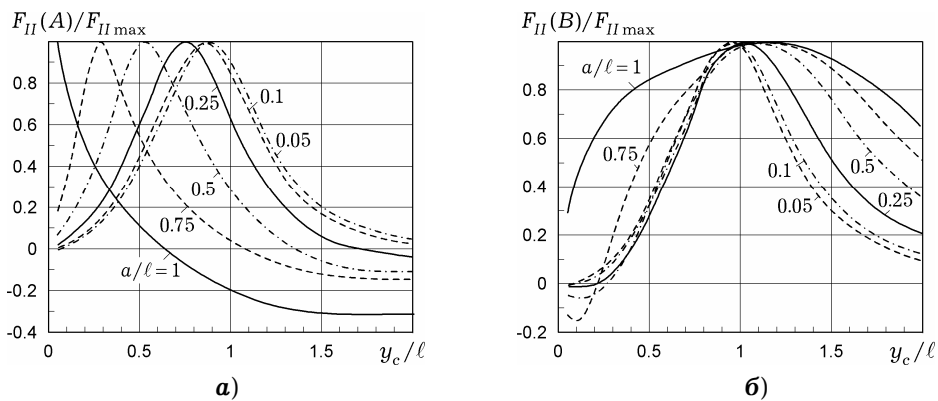


Рис. 2. Відносні КІН F_{II} для горизонтальної тріщини в пластинці з матеріалу LU-45: **а)** – для лівої вершини, **б)** – для правої вершини.

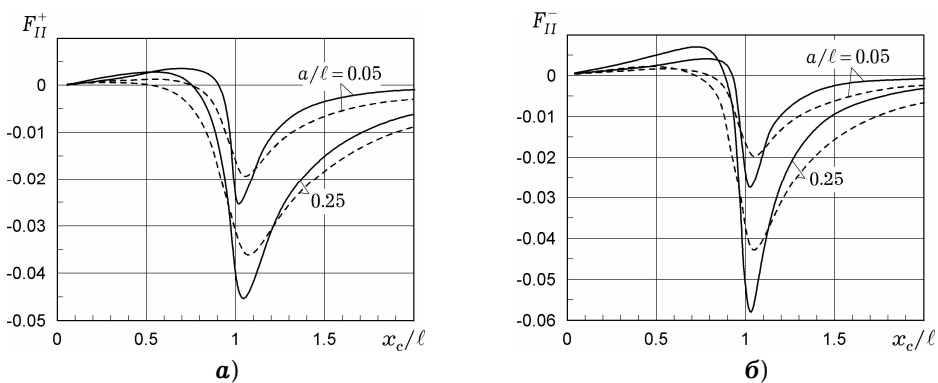


Рис. 3. Відносні КІН для вертикальної тріщини при $y_b / \ell = -0.2$ (суцільні лінії) та $y_b / \ell = -0.5$ (штрихові лінії) у матеріалі LU: **а)** – для нижньої вершини, **б)** – для верхньої вершини.

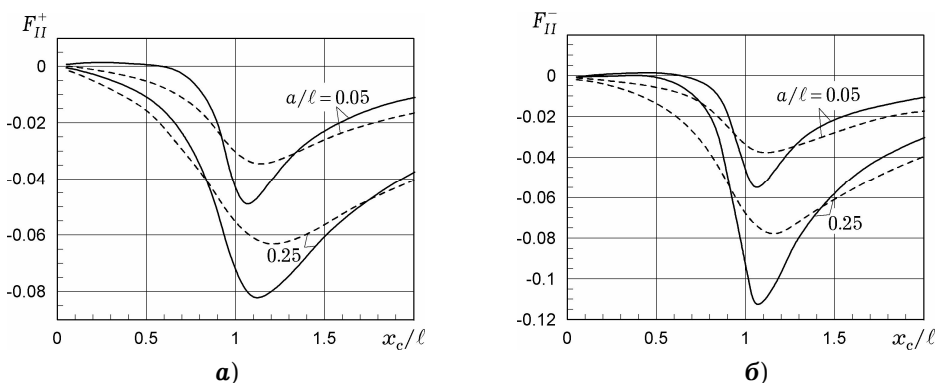


Рис. 4. Відносні КІН для вертикальної тріщини у матеріалі LU-90: **а)** – у нижній вершині, **б)** – у верхній вершині.

На основі розрахунків для тріщин, паралельних до межі півплощини, можна зробити такі висновки: анізотропія істотно впливає на розподіл напружень біля тріщин; КІН K_{II} є найменшими у випадку, коли жорсткість матеріалу є максимальною у вертикальному напрямку; КІН є найбільшими, коли вісь ортотропії з максимальною жорсткістю матеріалу нахилена під кутом 45° до межі пластинки; для композитних матеріалів при контакті берегів тріщин біля вершин КІН K_I є відмінними від нуля.

Розраховано КІН для вертикальної тріщини при $a/\ell = 0.05, 0.25$. Відносні КІН F_{II} для матеріалів LU, LU-90, LU-45 у нижній вершині тріщини наведено на рис. 3а–рис. 5а, де суцільним кривим відповідає відношення $y_b/\ell = -0.2$, а штриховим – $y_b/\ell = -0.5$ (y_b – координата верхньої вершини тріщини). Аналогічні дані для верхньої вершини наведено на рис. 3б–рис. 5б. Результати для ізотропного матеріалу практично збігаються з отриманими в роботі [9] для штампа, який не повертається.

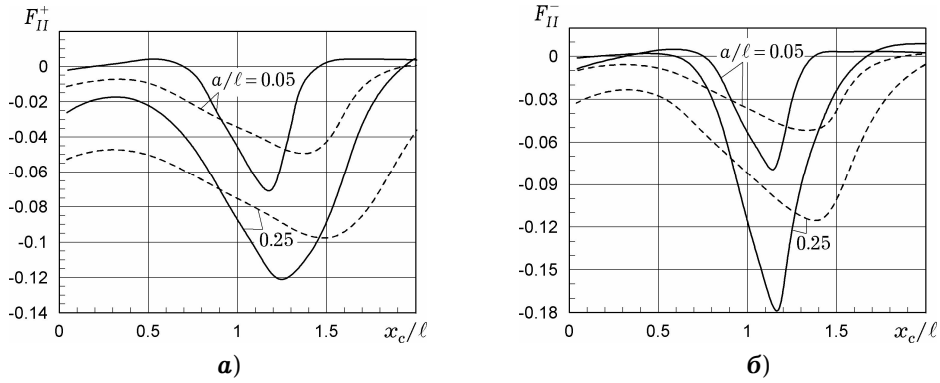


Рис. 5. Відносні КІН F_{II} для вертикальної тріщини для матеріалу LU-45:

а) – у нижній вершині, б) – у верхній вершині.

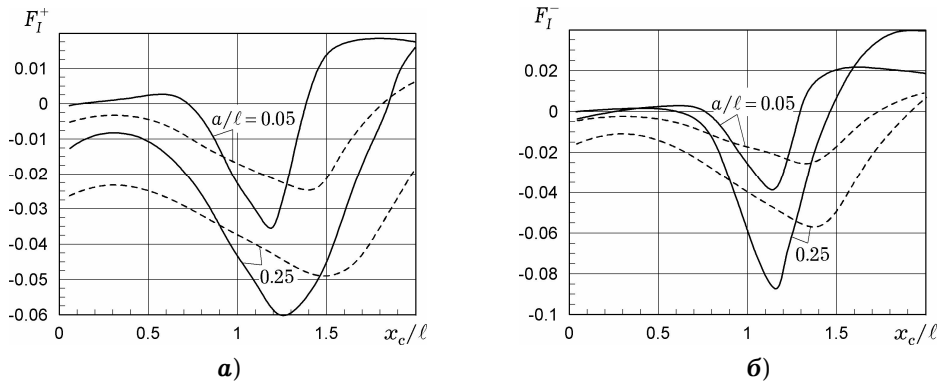


Рис. 6. Відносні КІН F_I для вертикальної тріщини для матеріалу LU-45:

а) – у нижній вершині, б) – у верхній вершині.

Значення відносних КІН F_I для матеріалу LU-45 наведено на рис. 6. У цьому випадку береги контактують в околі верхньої вершини тріщини, причому відмінними від нуля виявились також і КІН K_I .

Висновки. Розроблено алгоритм визначення напружень біля тріщин в анізотропній півплощині, яка взаємодіє з плоским гладким штампом, з урахуванням контакту берегів тріщин. Алгоритм базується на методі інтегральних рівнянь, ядра яких побудовано так, щоб умови на межі півплощини, в тому числі й під штампом, задовольнялись тотожно. Виконано дослідження КІН для тріщин з урахуванням контакту їх берегів. Встановлено, що анізотропія істотно впливає на напруження біля тріщин, а найбільші КІН виникають біля тріщин, якщо армувальні елементи розміщені перпендикулярно або нахилені під деяким кутом до межі півплощини.

1. Божидарнік В. В., Максимович О. В. Пружна та гранична рівновага анізотропних пластинок з отворами і тріщинами. – Луцьк: ЛДТУ, 2003. – 226 с.
2. Галин Л. А. Контактные задачи теории упругости. – Москва: Наука, 1980. – 304 с.

3. *Дацишин О. П., Глазов А. Ю., Левус А. Б.* Особливості контактування берегів крайової тріщини за рухомого герцівського навантаження // Фіз.-хім. мех. матеріалів. – 2013. – **49**, № 5. – С. 31–41.
Te same: *Datsyshyn O. P., Hlazov A. Yu., Levus A. B.* Specific features of contact of the faces of an edge crack under moving Hertzian loads // Mater. Sci. – 2014. – **49**, No. 5. – P. 589–601.
4. *Дацишин О. П., Марченко Г. П.* Напружений стан півплощини з крайовою половою тріщиною під герцівським навантаженням (огляд) // Фіз.-хім. механіка матеріалів. – 2008. – **44**, № 1. – С. 23–34.
Te same: *Datsyshyn O. P., Marchenko H. P.* Stressed state of a half plane with shallow edge crack under Hertzian loading (a survey) // Mater. Sci. – 2008. – **44**, No. 1. – P. 22–34.
5. *Калоеров С. А., Авдюшина Е. В., Мироненко А. Б.* Концентрация напряжений в многосвязных изотропных пластинках. – Донецьк: Донецьк. нац. ун-т, 2013. – 438 с.
6. *Лехницький С. Г.* Анизотропные пластинки. – Москва: Гостехиздат, 1957. – 464 с.
Te same: *Lekhnitskii S. G.* Anisotropic plates. – New York etc.: Gordon and Breach Sci. Pub., 1968. – 534 p.
7. *Максимович О. В., Лавренчук С. В., Соляр Т.Я.* Концентрація напружень біля отворів та штампу в анізотропній півплощині // Прикл. проблеми механіки і математики. – 2016. – Вип. 14. – С. 76–84.
8. *Максимович О.* Розрахунок напруженого стану анізотропних пластинок з отворами і криволінійними тріщинами при врахуванні контакту їхніх берегів // Вісн. Терноп. держ. техн. ун-ту. – 2009. – **14**, № 3. – С. 36–42.
9. *Мусхелишвили Н. И.* Некоторые основные задачи математической теории упругости. – Москва: Наука, 1966. – 708 с.
Te same: *Muskhelishvili N. I.* Some basic problems of the mathematical theory of elasticity. – Leyden: Noordhoff Int. Publ., 1977. – 732 p.
10. *Панасюк В. В., Дацишин А. П., Марченко Г. П.* Контактна задача про дію штампа на границю півплощини, послабленої системою криволінійних тріщин // Фіз.-хім. механіка матеріалів. – 1995. – **31**, № 6. – С. 7–16.
Te same: *Panasjuk V. V., Datsyshyn O. P., Marchenko H. P.* Contact problem for a half plane with cracks subjected to the action of a rigid punch on its boundary // Mater. Sci. – 1996. – **31**, No. 6. – P. 667–678.
11. *Саврук М. П., Томчик А.* Тиск з тертям абсолютно жорсткого штампа на пружний півпростір з тріщинами // Фіз.-хім. механіка матеріалів. – 2010. – **46**, № 3. – С. 5–15.
Te same: *Savruk M. P., Tomczyk A.* Pressure with friction of a perfectly rigid die upon an elastic half space with cracks // Mater. Sci. – 2010. – **46**, No. 3. – P. 283–296.
12. *Максимович О., Пастернак Іа., Сулим Н., Кутський С.* Doubly periodic cracks in the anisotropic medium with the account of contact of their faces // Acta Mech. Automat. – 2014. – **8**, No. 3. – P. 160–164.

КОНТАКТНАЯ ЗАДАЧА ДЛЯ АНИЗОТРОПНОЙ ПОЛУПЛОСКОСТИ С ТРЕЩИНАМИ

Предложен подход к решению контактной задачи для анизотропной полуплоскости, взаимодействующей с плоским гладким штампом, с учетом контакта берегов трещин. Расчет напряжений возле трещин в анизотропной полуплоскости выполнен на основании метода интегральных уравнений. Ядра уравнений построены так, что условия на прямолинейной границе полуплоскости, в том числе и под штампом, удовлетворяются тождественно. Исследовано влияние анизотропии и контакта берегов трещин на значения коэффициентов интенсивности напряжений.

A CONTACT PROBLEM FOR AN ANISOTROPIC HALF-PLANE WITH CRACKS

An approach to the solution of a contact problem for an anisotropic half-plane, which interacts with a plane smooth punch, is proposed with regard for the contact of the crack faces. Calculation of the stresses near the cracks in the anisotropic half-plane is carried out on the basis of integral equations method. The kernels of the equations are constructed so that the conditions on the rectilinear boundary of the half-plane, including the area under the punch, are satisfied identically. The influence of anisotropy and contact of the crack faces on the stress intensity factors is studied.

¹ Луцьк. нац. техн. ун-т, Луцьк,

² Ін-т прикл. проблем механіки і математики
ім. Я. С. Підстригача НАН України, Львів